Vol. 24, No. 6 Nov., 2003

高氨氮渗滤液处理的 ANAMMOX A²/O 工艺研究

赵宗升¹,李炳伟²,刘鸿亮²,赵云霞¹,许其功²,陈智均¹(1.北京交通大学土木建筑学院,北京 100044; 2.中国环境科学研究院,北京 100012, E-mail; zhaozongs@vip. sina. com)

摘要:通过好氧出水回流到厌氧流化床可以实现厌氧氦氧化过程.对于高浓度氦氮渗滤液,ANAMMOX 反应可使 ANAMMOX A²/O 工艺比普通 A²/O 工艺的 TN 去除率提高 $15\%\sim20\%$,达 32%以上;好氧出水 NO_2^- -N 浓度有较大幅度地降低,改善了出水水质. ANAMMOX 反应总反应级数为 3 级,对 NH_4^+ -N、 NO_3^- -N 和 NO_2^- -N 的反应级数均为 1 级,反应速率常数为 -3.43E-5 $L^2 \cdot (mmol^2 \cdot h)^{-1}$.

关键词: ANAMMOX; 厌氧氨氧化; 渗滤液; 脱氮; 动力学

中图分类号: X703.1 文献标识码: A 文章编号: 0250-3301(2003)06-04-0121

A Study on ANAMMOX A²/O Process for Ammonium-rich Leachates

Zhao Zongsheng¹, Li Bingwei², Liu Hongliang², Zhao Yunxia¹, Xu Qigong², Chen Zhijun¹(1. School of Civil Engineering and Architecture, Beijing Jiaotong University, Beijing 100044, China; 2. Chinese Research Academy of Environmental Sciences, Beijing 100012, China E-mail; zhaozongs@vip.sina.com)

Abstract: The ANAMMOX reaction could be realized by recycling the aerobic effluent to the anaerobic fluidized bed. A TN removal rate of 32% could be reached in ANAMMOX A^2/O process for the ammonium-rich leachate. It is increased by 15% \sim 20% compared to the A^2/O process without ANAMMOX. NO_2^- -N concentration and NO_2^- -N/ NO_x^- -N ratio in the aerobic effluent are decreased significantly. The effluent quality is improved. The ANAMMOX reaction has a total reaction order of 3, and the reaction orders for NH_4^+ -N, NO_2^- -N and NO_3^- -N are 1. The reaction constant is -3.43E-5 $L^2 \cdot (\text{mmol}^2 \cdot \text{h})^{-1}$.

Keywords: ANAMMOX; leachate; denitrification; ammonium; kinetics

厌氧氨氧化(Anaerobic Ammonium Oxidation, ANAMMOX)是近年来得到确认的一种生 物化学反应,是以亚硝酸盐或硝酸盐为电子受 体、以氨为电子供体自养生物脱氮过程. ANAMMOX生物化学原理的提出和确认使大 幅度节省好氧氨氧化的动力消耗和反硝化碳源 成为可能. ANAMMOX 过程首先由 Broda (1977)年提出[1], Mulder(1995)在实验室反硝 化流化床内发现了这一过程[2],同年 Graaf 又 证明了这一反应为生物化学反应^[3],随后 Graaf (1996)的研究表明, ANAMMOX 过程是由自养 菌催化完成的^[4]. 荷兰 Delft 理工大学的研究表 明,他们培养的厌氧氨氧化菌具有浮游真菌的 3个性质:通过发芽进行细胞分裂、内室分室化 和在细胞壁存在火山口结构. 根据 16S rRNA 分析提出了这种厌氧氨氧化菌的后选名为 Brocadia Anammoxidans^[5]. 其他有关的研究

表明亚硝酸细菌(Nitrosomonas)也可以进行ANAMMOX反应^[6].在其它反应器中也发现了厌氧氨氧化菌^[7~8].

迄今为止,ANAMMOX 技术仍处于理论研究阶段,应用其处理实际氨氮废水的报道较少;垃圾渗滤液,特别是晚期渗滤液,其处理难度在于其高氨氮浓度和低 C/N 比,处理过程中存在自由氨及亚硝酸盐抑制和反硝化碳源不足、脱氮效率低等问题^[9~11].本文的目的就是研究将ANAMMOX 技术应用于高氨氮渗滤液处理的可行性和效率,研究将好氧出水回流实现ANAMMOX A²/O 流程的工艺特性.

1 试验材料与方法

1.1 渗滤液原水水质

基金项目:国家"九五"科技攻关项目(96-909-05-02)

作者简介:赵宗升(1959~),男,博士,研究员,主要研究方向

收稿日期:2003-01-24;修订日期:2003-03-25

24 卷

试验用原渗滤液取自北京市某生活垃圾填 埋场, 其基底水质 COD 为 1000~2300mg/L, BOD₅ 为 55 ~ 99mg/L, NH₄+N 为 480 ~ 590mg/L,TN 为 660~870mg/L,pH 值为 8~ 8.2,碱度为 4720~5240mg/L. 试验过程中通过 向原渗滤液中加入 NH4HCO3 和 Na2CO3 提高 NH, -N 浓度和碱度. 试验渗滤液 NH, -N 平均 浓度为 1200~3000mg/L,COD/NH4-N 比值约 为 0.4~0.8, 属碳氮比极低渗滤液, 反硝化碳 源不足.

1.2 试验流程与设备

试验流程如图 1 所示. 该流程的主要特点 是采用好氧出水回流的方式实现 ANAMMOX 过程,称其为 ANAMMOX A2/O 流程,试验中 厌氧流化床和曝气池温度由温度控制器控制, 厌氧流化床温度为 35℃,曝气池温度为 20℃. pH 在线检测. 厌氧流化床内装颗粒活性炭填 料.试验系统设计与运行参数见表 1.

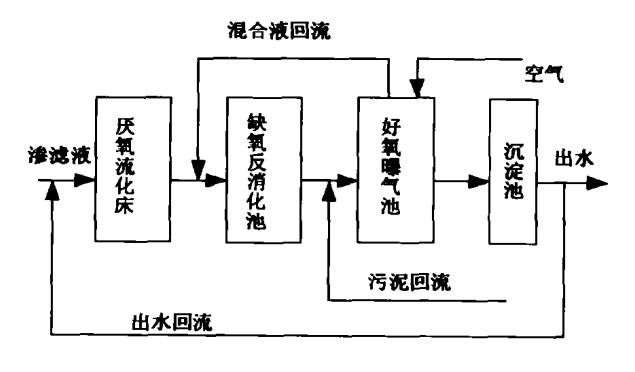


图 1 ANAMMOX A²/O 工艺试验流程

Fig. 1 The test diagram of ANAMMOX A²/O process

1.3 分析方法

COD_{Cr}: 重铬酸钾法; NH₄-N:纳试剂比色 法;NO₃-N:戴氏合金还原法;NO₂-N: N-萘基-乙二胺比色法;SS: 重量法;总氮: 过硫酸钾紫 外分光光度法;DO: 溶解氧测定仪.

2 结果与讨论

2.1 平均值分析

在本研究之前,试验系统已经进行了600 多天的试验研究工作[10~12],微生物经过了充分 的驯化.本文试验分为5个阶段,其中阶段 [为 普通 A²/O 流程试验,其余 4 个阶段为 ANAMMOX A²/O 流程试验,它们的持续时间 分别为:0~14d;14~44d;44~103d;103~125d 和 125~160d. 这期间的系统运行参数见表 2. 由于 NO5-N 等对 COD 及 BOD 检测有干扰,试 验过程中出水 COD 及 BOD、浓度比进水浓度 还高,故这里不予列出,有关 NO5-N 及 NH4-N 对 COD 和 BOD 检测的影响有待专门研究.分 阶段的系统平均水质指标见表 3~表 6.

表 1 试验流程系统设计与运行参数

Table 1 Design and operation parameter of the test system

| 参数 | 数值 | 参数 | 数值 |
|--------------|-----|------------|-----|
| 厌氧有效容积/L | 40 | 缺氧名义 HRT/h | 24 |
| 好氧有效容积/L | 40 | 好氧名义 HRT/h | 60 |
| 缺氧有效容积/L | 16 | 污泥回流比/% | 300 |
| 系统进水流量/L·d-1 | 16 | 混合液回流比/% | 300 |
| 系统 HRT/h | 142 | 出水回流比/% | 30 |
| 厌氧名义 HRT/h | 60 | | |

表 2 试验系统平均运行参数/mg·L-1

Table 2 Average operation parameters of test system/mg·L⁻¹

| 阶段 | I | П | Ш | IV | V |
|---------|------|------------|------|------|------|
| 进水 COD | 1145 | 1433 | 1524 | 968 | 1599 |
| 进水 BODs | 68 | 7 5 | 99 | | |
| DO | 1.6 | 1.3 | 1.0 | 1.8 | 1.7 |
| 缺氧 pH | 7.82 | 7.77 | 7.88 | 7.54 | 7.42 |
| 好氧 pH | 6.63 | 6.43 | 6.53 | 6.01 | 6.10 |
| MLSS | 5263 | 6521 | 2527 | 3135 | 2955 |

表 3 系统平均 NH. - N 浓度/mg·L-1

Table 3 Average concentrations of ammonia-N/mg·L⁻¹

| 阶段 | 原水 | 厌氧 | 缺氧 | 好氧 | 总去除率/% |
|----|------|------|-----|-----|--------|
| Ī | 1129 | 1174 | 417 | 259 | 77 |
| П | 1124 | 852 | 200 | 111 | 90 |
| Ш | 1016 | 709 | 412 | 112 | 89 |
| IV | 714 | 520 | 5.9 | 2.5 | 99.6 |
| V | 2366 | 1623 | 135 | 70 | 99.7 |

试验结果表明,增加了好氧出水回流的 ANAMMOX A2/O 流程较普通 A2/O 流程在 NH4-N、TN 去除率均有较大地提高. 其中 TN 去除率从普通 A²/O 的 12.4% 提高到 30% 左 右,基本上进水 TN 浓度越高其去除率也越高, 说明 ANAMMOX A²/O 流程对高浓度废水作 用更明显 因为进水没有充足的易利用的反硝

123

化碳源,所以脱氮效率的提高不可能是由常规 反硝化来完成,内源呼吸反硝化也不可能这样 大幅度地提高脱氮效率. 试验在第 30 天以内曝 气池 MLSS 较高,约在 6000~7800mg/L 之间. 通过排泥使 MLSS 下降,第 40 天以后就不再排 污泥, MLSS 基本稳定在 3000mg/L 左右, 所以 脱氮效率的增加应主要是 ANAMMOX 作用的 结果.

表 4 系统平均 TN 浓度/mg·L-1

Table 4 Average concentrations of total nitrogen/mg·L⁻¹

| 阶段 | 原水 | 厌氧 | 缺氧 | 好氧 | 总去除率/% |
|----|------|------|------|------|--------|
| | 1611 | 1555 | 1428 | 1412 | 12.4 |
| П | 1520 | 1278 | 1206 | 1114 | 26.7 |
| Ш | 1159 | 1011 | 907 | 838 | 27.7 |
| IV | 1005 | 914 | 822 | 760 | 24.4 |
| V | 2619 | 2112 | 1813 | 1780 | 32.0 |

表 5 系统平均 NO₃-N 浓度/mg·L⁻¹

Table 5 Average concentrations of $NO_3^--N/mg \cdot L^{-1}$

| 阶段 | 原水 | 厌氧 | 缺氧 | 好氧 | 占 NON 比例/% |
|-----------|------|-----------|------|------|---------------|
| I | | | 25.5 | 56 | 7 |
| П | 0.77 | 98 | 633 | 614 | 75 |
| Ш | 1.14 | 132 | 57 | 127 | 15 |
| IV | 1.0 | 141 | 485 | 482 | 81 |
| V | 0.09 | 368 | 1241 | 1274 | 82 |

表 6 系统平均 NO2-N 浓度/mg·L-1

Table 6 Average concentrations of NO₂ -N/mg·L⁻¹

| 阶段 | 原水 | 厌氧 | 缺氧 | 好氧 | 占 NO _x -N 比例/% |
|----|------|-----|-----|-----|------------------------------|
| I | | | 687 | 800 | 93 |
| П | 0.19 | 3.0 | 98 | 204 | 25 |
| Ш | 0.19 | 141 | 574 | 734 | 85 |
| IV | 33.0 | 54 | 105 | 113 | 19 |
| v | 0.94 | 43 | 304 | 280 | 18 |

值得注意的是, ANAMMOX A2/O 流程的 最终好氧出水不仅 NO2-N 浓度较普通 A2/O 有较大地降低,而且好氧出水 NO₂-N 占 NO₇-N的比例也有不同程度地降低。与此相反,好 氧出水的 NO₃-N 浓度和其占 NO_x-N 的比例 均较普通 A^2/O 的有所增加,这是由于 NO_2^--N 被厌氧氨氧化菌利用,而自由 HNO_2 对 NO_2^--N 的生物氧化抑制减轻所致.

2.2 ANAMMOX 反应速率

通过对进出其中的 NH4-N 物料平衡分 析,可以得出厌氧流化床内 ANAMMOX 反应 的速率. 厌氧流化床的 NH4-N 物料平衡方程

$$r = \frac{Q}{V}(c_{\mathrm{I}} + Rc_{\mathrm{R}} - (1 + R)c_{\mathrm{E}})$$

式中, r 为 ANAMMOX 反应速率[mmol/(L· h)⁻¹];Q 为渗滤液原水进水流量(L/h),16L/ d; V 为厌氧流化床有效容积(L),为 $40L; c_I$ 为 渗滤液原水 NH₄⁺-N 浓度(mmol/L); c_R 为回流 的好氧沉淀池出水浓度(mmol/L);cF 为厌氧流 化床出水 NH₄ -N 浓度(mmol/L); R 为出水回 流比,为30%.根据上式可以计算出厌氧流化 床内 ANAMMOX 反应速率,结果见表 7.

ANAMMOX反应速率不仅应与 NH₄⁺-N 浓度有关,还应与 NO2-N 及 NO3-N 浓度有 关.对这些因素进行回归分析,得出如下方程作 为反应速率较为合适:

$$r = -3.43E - 5c_{NH}c_{NO_2}c_{NO_3}$$

式中, r 为 ANAMMOX 速率, mmol/(L·h); c_{NH}, c_{NO_1} 和 c_{NO_2} 分别为 NH_4^+, N, NO_2^-, N 和 NO₃-N 的浓度, mmol/L.

该速率方程的相关系数较高, R²= 0.9323,方程可信度较大.其它几种形式的幂指 数型回归方程的相关系数见表 8. 他们的相关 系数均没有上式的大, 所以上式可以作为 ANAMMOX 的反应速率方程. 该方程表明, ANAMMOX 的反应速率常数较小,仅为 -3.43E-5,但反应的级数较高,总反应级数为 3,对 NH₄ - N、NO₂ - N 和 NO₃ - N 的反应级数均 为 1. 表明 NO₂-N 和 NO₃-N 对 ANAMMOX 反应速率有相同的贡献,反应速率随 NH.*-N、 NO_2^- -N 和 NO_3^- -N 浓度增加较快地增加. 所 以,提高好氧出水回流比可望提高 ANAMMOX 反应速率 这和 Graaf 得出的 NO 是最合适的 电子供体的结果是不同的[3].可能是由于虽然 NO₂ 是更好的电子供体,但同时它也是 ANAMMOX 反应的抑制剂[13].

这里得到的 ANAMMOX 动力学方程是根

24 卷

据动态试验结果得出的,这方面的研究应继续 在批式反应器中进行研究,以期获得更为准确 的动力学方程,这里得到的 NO₃-N 和 NO₅-N 对 ANAMMOX 反应速率有着同等的影响也是 很有意义和值得进一步研究的.

表 7 厌氧流化床内 ANAMMOX 反应速率与反应物浓度

Table 7 Calculated reaction rates of ANAMMOX and reactant concentrations in anaerobic fluidized bed

| 阶段 | П | Ш | IV | V |
|---|-------|-------|-------|-------|
| NH4+-N 浓度/mmol·L-1 | 60.8 | 50.6 | 37.1 | 116 |
| NO ₂ -N浓度/mmol·L ⁻¹ | 0.21 | 10.1 | 3.85 | 3.07 |
| NO3-N 浓度 mmol·L-1 | 7.00 | 9.42 | 10.1 | 26.3 |
| 反应速度/mmol·(L·h)-1 | -0.06 | -0.15 | -0.04 | -0.33 |

表 8 几种反应速率回归方程及其相关系数

Table 8 The reaction rate equations of ANAMMOX and their correlation coefficients

| 回归方程 | 相关系数(R ²) |
|---------------------------------------|-----------------------|
| $r = -0.0117c_{NO_3}$ | 0.8482 |
| $r = -0.0001c_{\rm NH}c_{\rm NO_3}$ | 0.8113 |
| $r = -0.0024 c_{NH}$ | 0.7496 |
| $r = -0.0215c_{NO_2}$ | 0.5263 |
| $r = -0.0025c_{NO_3}c_{NO_2}$ | 0.4222 |
| $r = -0.0005 c_{\rm NH} c_{\rm NO_2}$ | 0.271 |

结论

- (1) ANAMMOX A²/O 流程与普通 A²/O 流程的 TN 去除率相比,从 12.4% 提高到约 32%.
- (2) ANAMMOX A²/O 流程比普通 A²/O 流程的最终好氧出水 NO2-N 浓度有较大程度 地降低,改善了出水水质.
- (3) ANAMMOX 反应速率常数为-3.43E -5 L²·(mmol²·h)⁻¹,反应速率较慢.但随反应 物浓度增加,反应速率增加较快,ANAMMOX 反应速率对 NH₄⁺-N、NO₅⁻-N 和 NO₅⁻-N 均为一 级反应, 即它们的浓度对 ANAMMOX 反应有 同等的影响.有关ANAMMOX反应的动力学研

究应进行深入研究.

参考文献:

- Broda E. Two kinds of lithotrophs missing in nature[J]. Z. Allg. Mikrobiol., 1977, 17:491~493.
- Mulder A, A A van de Graaf, L A Robertson et al. Anaerobic ammonium oxidation discovered in a denitrifying fluidized bed reactor[J]. FEMS Microbiol. Ecol., 1995, 16: 177~
- 3 Van de Graaf A A, A Mulder, P de Bruijn et al. Anaerobic oxidation of ammonium is a biologically mediated process[J]. Appl. Environ. Microbiol., 1995, 16: 1246~1251.
- 4 Van de Graaf A A, P de Bruijn, L A Robertson et al. Autotrophic growth of anaerobic ammonium-oxidizing micro-organisms in a fluidized bed reactor[J]. Microbiology, 1996, $142.2187 \sim 2196$.
- Strous M, Fuerst J, Kramer E et al. Missing lithotroph identified as new planctomycete [J]. Nature, 1999, 400:
- 6 Schmidt Ingo, Bock Eberhard. Anaerobic ammonia oxidation with nitrogen dioxide by Nitrosomonas eutropha [J]. Arch. Microbiol., 1997, 167:106~111.
- 7 Egli K, Fanger U, Alvarez PJJ et al. Enrichment and characterization of Anammox bacterium from a rotating biological contactor treating ammonium-rich leachate. Arch Microbiol., 2001, 175(3):198~207.
- Schmid M, Twachmann U, Klein M et al. Molecular evidence for genus level diversity of bacteria capable of catalyzing anaerobic ammonium oxidation. System Appl. Microbiol., $2000, 23:93 \sim 106.$
- 赵宗升, 刘鸿亮, 李炳伟等. 高浓度氨氮渗滤液高效脱氮 途径[J].中国给水排水,2001,17(5):24~28.
- 赵宗升, 刘鸿亮, 袁光钰等. 垃圾渗滤液处理的 A²/O 与 混凝沉淀工艺试验研究[J]. 中国给水排水, 2001, 17 $(11):13\sim16.$
- 11 赵宗升,李炳伟,刘鸿亮.高氨氮渗滤液处理的好氧反硝 化工艺研究[J]、中国环境科学, 2002, 22(5):412~415.
- 12 赵宗升. 垃圾填埋场渗滤液水质与处理技术研究[D]. 北 京:清华大学环境科学与工程系,2001.60~128.
- 13 Schalk J, H Oustad, G Kuenen et al. The anaerobic oxidation of hydrazine; a noval reaction in microbial nitrogen metabolism. FEMS Microbiol. Lett., 1998, 158:61~67.